

# Études de bijections entre objets combinatoires comptés par les nombres de Catalan

Maxime CAUTRÈS

LaBRI

06/07/2021

# Sommaire

- 1 Les nombres de Catalan
  - Histoire
  - Quelques exemples d'objets
  - Cadre et objectifs
- 2 Le mode insertion et sa généralisation
- 3 Étude approfondie de  $\text{ech}_0$

## Découverte

- Leonhard Euler (XVIII)

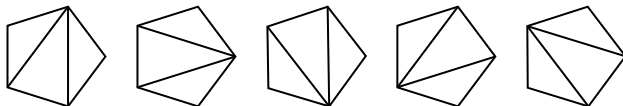


FIGURE – Les 5 triangulations pour un polygone à 5 côtés

- Eugène Charles Catalan

$$C(n) = \sum_{k=0}^{n-1} C(k)C(n-1-k) = \frac{\binom{2n}{n}}{n+1}$$

## Exemples d'objets combinatoires comptés par les nombres de Catalan

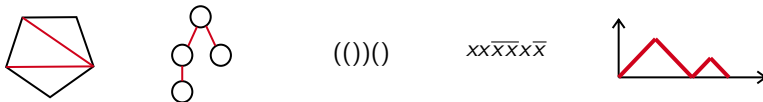


FIGURE – De gauche à droite : Triangulations, Arbres planaires, mots de parenthèses, mots de Dyck, chemins de Dyck

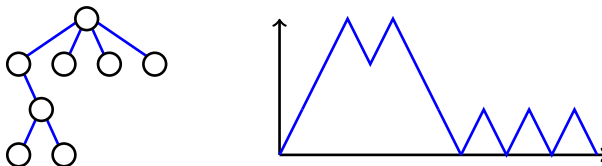


FIGURE – Idées pour dénombrer

. Richard P. Stanley [?] a référencé 214 objets comptés par les nombres de Catalan

## Exemples d'objets combinatoires comptés par les nombres de Catalan

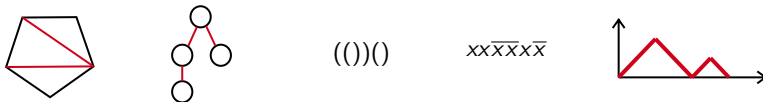


FIGURE – De gauche à droite : Triangulations, Arbres planaires, mots de parenthèses, mots de Dyck, chemins de Dyck

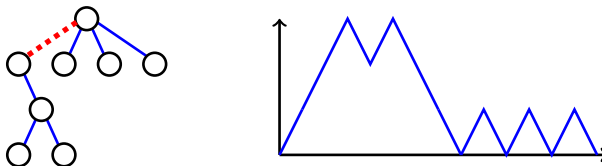


FIGURE – Idées pour dénombrer

. Richard P. Stanley [?] a référencé 214 objets comptés par les nombres de Catalan

# Exemples d'objets combinatoires comptés par les nombres de Catalan

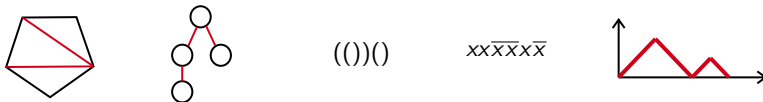


FIGURE – De gauche à droite : Triangulations, Arbres planaires, mots de parenthèses, mots de Dyck, chemins de Dyck

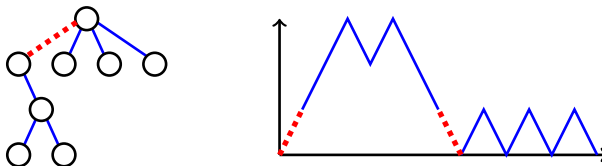


FIGURE – Idées pour dénombrer

. Richard P. Stanley [?] a référencé 214 objets comptés par les nombres de Catalan

# Les $q,t$ -Catalan et un problème ouvert :

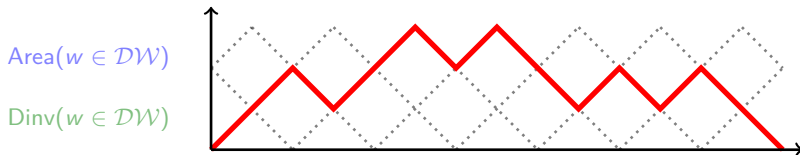


FIGURE – Illustration de l'Area et du Dinv sur un chemin de Dyck

# Les $q,t$ -Catalan et un problème ouvert :

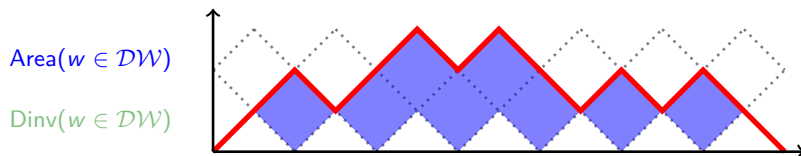


FIGURE – Illustration de l'Area et du Dinv sur un chemin de Dyck



# Les $q,t$ -Catalan et un problème ouvert :

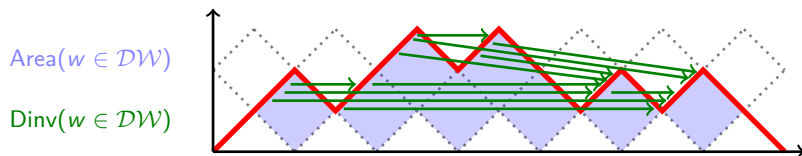


FIGURE – Illustration de l'Area et du Dinv sur un chemin de Dyck

# Les q,t-Catalan et un problème ouvert :

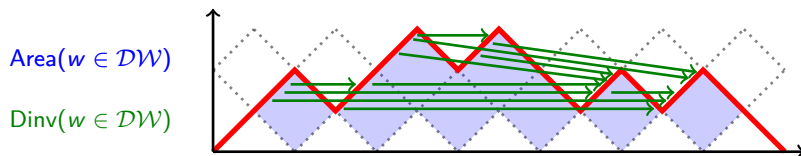


FIGURE – Illustration de l'Area et du Dinv sur un chemin de Dyck

- $\text{Area} \Leftrightarrow$  Somme des tailles de piles dans le DFS de l'arbre équivalent
- $\text{Dinv} \Leftrightarrow$  Somme des tailles de files dans le BFS de l'arbre équivalent

# Les q,t-Catalan et un problème ouvert :

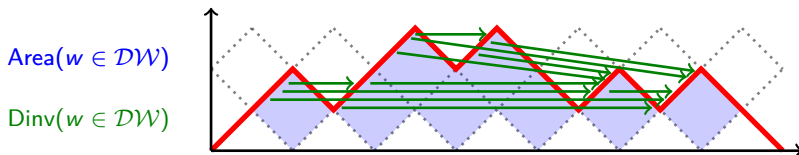


FIGURE – Illustration de l'Area et du Dinv sur un chemin de Dyck

- **Area**  $\Leftrightarrow$  Somme des tailles de piles dans le DFS de l'arbre équivalent
- **Dinv**  $\Leftrightarrow$  Somme des tailles de files dans le BFS de l'arbre équivalent

Les **q,t-Catalan**[?] :  $C_n(q, t) = \sum_{w \in \mathcal{DW}_n} q^{\text{Area}(w)} t^{\text{Dinv}(w)}$

- Une Symétrie :  $\forall q, t, C_n(q, t) = C_n(t, q)$
- Une involution ?  $\exists \varphi \text{ Stat } \forall q, t, C(q, t) = \sum_{w \in \mathcal{DW}} q^{\text{Stat}(w)} t^{\text{Stat}(\varphi(w))}$

# Sommaire

- 1 Les nombres de Catalan
- 2 Le mode insertion et sa généralisation
  - Définitions
  - L'algorithme d'insertions pilotées
- 3 Étude approfondie de  $\text{ech}_0$

# Mots de Dyck, Suites quasi décroissantes

- **Mot de Dyck ( $\mathcal{DW}$ )** : Soit  $w$  un mot sur l'alphabet  $\{x, \bar{x}\}$ .

$$u \in \mathcal{DW} \iff |u|_x = |u|_{\bar{x}} \text{ et } \forall v \text{ suffixe } u, |v|_x \leq |v|_{\bar{x}}$$

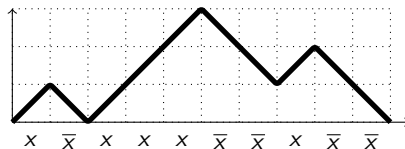


FIGURE – Représentation graphique d'un  $\mathcal{DW}$  et d'un  $\mathcal{ADS}$  associé

# Mots de Dyck, Suites quasi décroissantes

- **Mot de Dyck ( $\mathcal{DW}$ )** : Soit  $w$  un mot sur l'alphabet  $\{x, \bar{x}\}$ .

$$u \in \mathcal{DW} \iff |u|_x = |u|_{\bar{x}} \text{ et } \forall v \text{ suffixe } u, |v|_x \leq |v|_{\bar{x}}$$

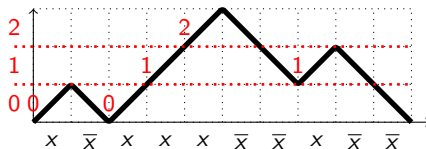


FIGURE – Représentation graphique d'un  $\mathcal{DW}$  et d'un  $\mathcal{ADS}$  associé

- **Suites quasi décroissantes ( $\mathcal{ADS}$ )** :

$$(a_i)_{i \in \llbracket 0, n \rrbracket} \in \mathcal{ADS} \iff a_0 = 0 \text{ et } \forall k \in \llbracket 0, n-1 \rrbracket, a_{k+1} \in \llbracket 0, a_k + 1 \rrbracket$$

# Mots de Dyck marqués, Insertions

- $\mathcal{DW}$  marqué ( $\mathcal{MDW}$ ) :=  $\{w \sqcup v / w \in \mathcal{DW} \wedge v \in \bigcup_{n \in \mathbb{N}} \{ \sqcup_{k \in \llbracket 0, n \rrbracket} k \bar{k} \} \}$

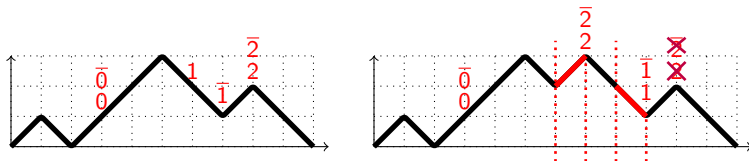


FIGURE – On réécrit en 1 avec la règle  $(1, \bar{1}) \rightarrow (x2\bar{2}, x1\bar{1})$

- Une règle :  $(1, \bar{1}) \rightarrow (x2\bar{2}, x1\bar{1})$

# Mots de Dyck marqués, Insertions

- $DW$  marqué ( $MDW$ ) :=  $\{w \sqcup v / w \in DW \wedge v \in \bigcup_{n \in \mathbb{N}} \{ \sqcup_{k \in \llbracket 0, n \rrbracket} k \bar{k} \} \}$

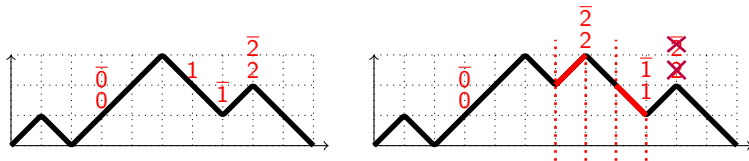


FIGURE – On réécrit en 1 avec la règle  $(1, \bar{1}) \rightarrow (x2\bar{2}, x1\bar{1})$

- Une règle :  $(1, \bar{1}) \rightarrow (x2\bar{2}, x1\bar{1})$
- On généralise la règle : On pose  $B = A + 1$

$$(1, \bar{1}) \rightarrow (x2\bar{2}, x1\bar{1}) \text{ donne } (A, \bar{A}) \rightarrow (x B \bar{B}, x A \bar{A})$$



## Mots de Dyck marqués, Insertions

- $DW$  marqué ( $MDW$ ) :=  $\{w \sqcup v / w \in DW \wedge v \in \bigcup_{n \in \mathbb{N}} \{ \sqcup_{k \in [0, n]} k \bar{k} \} \}$

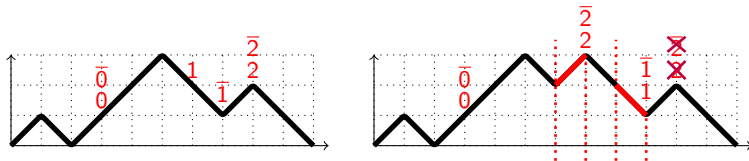


FIGURE – On réécrit en 1 avec la règle  $(1, \bar{1}) \rightarrow (x2\bar{2}, \bar{x}1\bar{1})$

- Une règle :  $(1, \bar{1}) \rightarrow (x2\bar{2}, \bar{x}1\bar{1})$
- On généralise la règle : On pose  $B = A + 1$

$$(1, \bar{1}) \rightarrow (x2\bar{2}, \bar{x}1\bar{1}) \text{ donne } (A, \bar{A}) \rightarrow (x\bar{B}\bar{B}, \bar{x}A\bar{A})$$

- Les grammaires ( $\mathcal{GR}$ )[?, LeBorgne04] :

$$\mathcal{GR} := \{(A, \bar{A}) \rightarrow (m_R, m_F) / m_R \cdot ', ' \cdot m_F \in (x, \bar{x} \sqcup A\bar{A} \sqcup B\bar{B})\}$$

# Des applications des $ADS$ de taille $n$ dans $\mathcal{DW}$ de demie longueur $n$

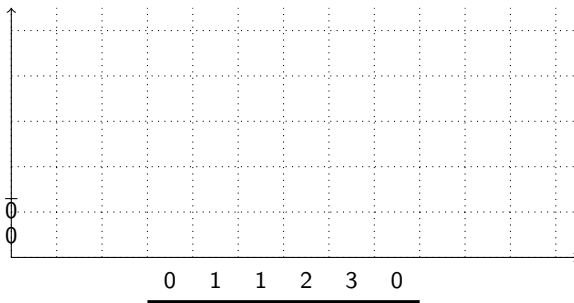


FIGURE – Affichage des étapes de l'algorithme sur 011230 avec  $(A, \bar{A}) \rightarrow (xB\bar{B}, \bar{x}A\bar{A})$

- **Une généralisation :** Utilisation de 2 règles

# Des applications des $ADS$ de taille $n$ dans $\mathcal{DW}$ de demie longueur $n$

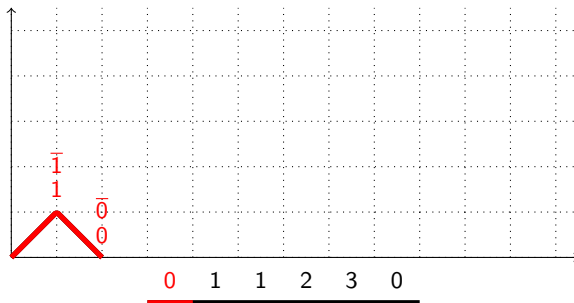


FIGURE – Affichage des étapes de l'algorithme sur 011230 avec  $(A, \bar{A}) \rightarrow (xB\bar{B}, \bar{x}A\bar{A})$

- **Une généralisation :** Utilisation de 2 règles

# Des applications des $ADS$ de taille $n$ dans $DW$ de demie longueur $n$

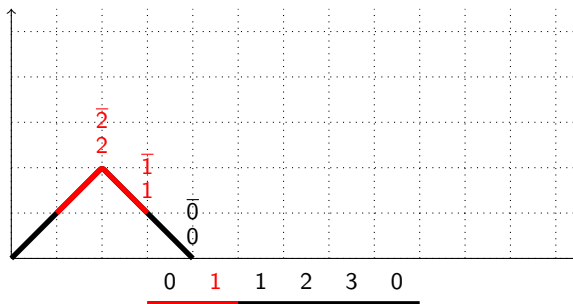


FIGURE – Affichage des étapes de l'algorithme sur 011230 avec  $(A, \bar{A}) \rightarrow (xB\bar{B}, \bar{x}A\bar{A})$

- Une généralisation : Utilisation de 2 règles

# Des applications des $ADS$ de taille $n$ dans $DW$ de demie longueur $n$

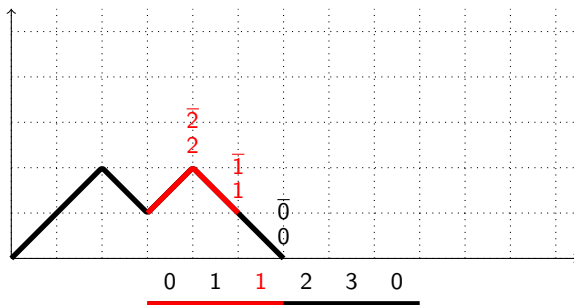


FIGURE – Affichage des étapes de l'algorithme sur 011230 avec  $(A, \bar{A}) \rightarrow (xB\bar{B}, \bar{x}A\bar{A})$

- **Une généralisation :** Utilisation de 2 règles

# Des applications des $ADS$ de taille $n$ dans $DW$ de demie longueur $n$

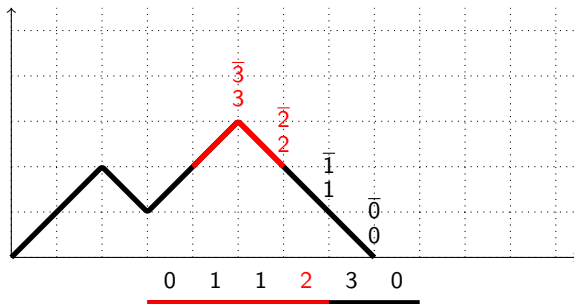


FIGURE – Affichage des étapes de l'algorithme sur 011230 avec  $(A, \bar{A}) \rightarrow (x\bar{B}\bar{B}, \bar{x}A\bar{A})$

- **Une généralisation :** Utilisation de 2 règles

# Des applications des $ADS$ de taille $n$ dans $DW$ de demie longueur $n$

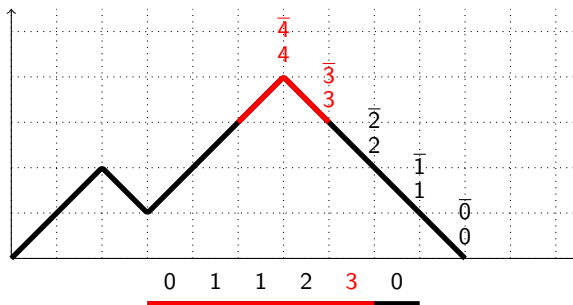


FIGURE – Affichage des étapes de l'algorithme sur 011230 avec  $(A, \bar{A}) \rightarrow (xB\bar{B}, \bar{x}A\bar{A})$

- **Une généralisation :** Utilisation de 2 règles

# Des applications des $ADS$ de taille $n$ dans $DW$ de demie longueur $n$

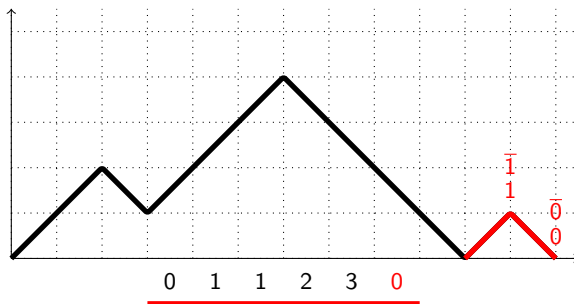


FIGURE – Affichage des étapes de l'algorithme sur 011230 avec  $(A, \bar{A}) \rightarrow (xB\bar{B}, \bar{x}A\bar{A})$

- **Une généralisation :** Utilisation de 2 règles



## Cardinaux et Constats

- Il y a **210** **grammaires** distinctes et **44100** **couples**.

$$\underbrace{\left( \binom{4}{2} + \binom{4}{1} \right)}_{\#(\text{mel}('x, \bar{x}', 'A\bar{A}'))} \times \underbrace{\left( \binom{6}{2} + \binom{6}{1} \right)}_{\#(\text{mel}('x, \bar{x}A\bar{A}', 'B\bar{B}'))} = 10 \times 21 = 210$$

- Au moins 178/210 règles** ne sont **pas injectives**, tout comme **au moins 43314/44100 couples**
- Une méthode pour l'étude de bijectivité :

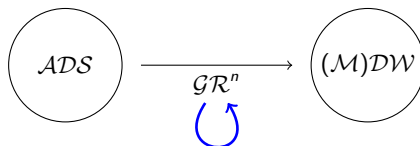


FIGURE – Différents liens intéressants à étudier

## Cardinaux et Constats

- Il y a **210 grammaires** distinctes et **44100 couples**.

$$\underbrace{\left( \binom{4}{2} + \binom{4}{1} \right)}_{\#(\text{mel}('x, \bar{x}', 'A\bar{A}'))} \times \underbrace{\left( \binom{6}{2} + \binom{6}{1} \right)}_{\#(\text{mel}('x, \bar{x}A\bar{A}', 'B\bar{B}'))} = 10 \times 21 = 210$$

- Au moins 178/210 règles** ne sont **pas injectives**, tout comme **au moins 43314/44100 couples**
- Une méthode pour l'étude de bijectivité :

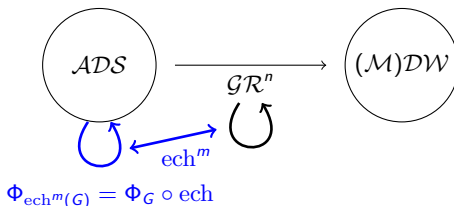


FIGURE – Différents liens intéressants à étudier

## Cardinaux et Constats

- Il y a **210 grammaires** distinctes et **44100 couples**.

$$\underbrace{\left( \binom{4}{2} + \binom{4}{1} \right)}_{\#(\text{mel}('x, \bar{x}', 'A\bar{A}'))} \times \underbrace{\left( \binom{6}{2} + \binom{6}{1} \right)}_{\#(\text{mel}('x, \bar{x}A\bar{A}', 'B\bar{B}'))} = 10 \times 21 = 210$$

- Au moins 178/210 règles** ne sont **pas injectives**, tout comme **au moins 43314/44100 couples**
- Une méthode pour l'étude de bijectivité :

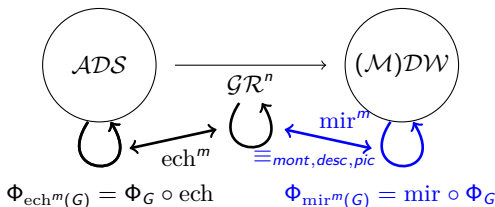


FIGURE – Différents liens intéressants à étudier

# Étude des équivalences et symétries (**uniforme**) : Conservation de la bijectivité ?

$$\begin{array}{ccc}
 \left\{ \begin{array}{l} \equiv_{pic} (xB\bar{B}, \bar{x}A\bar{A}) \\ \equiv_{pic} (x, B\bar{B}\bar{x}A\bar{A}) \\ \equiv_{mont} (xB, \bar{B}\bar{x}A\bar{A}) \\ \equiv_{desc} (Bx, \bar{B}\bar{x}A\bar{A}) \end{array} \right. & \xLeftrightarrow{\text{mir}^m} & \left\{ \begin{array}{l} \equiv_{pic} (A\bar{A}x, B\bar{B}\bar{x}) \\ \equiv_{pic} (A\bar{A}x\bar{B}\bar{B}, \bar{x}) \\ \equiv_{pic} (A\bar{A}x\bar{B}, \bar{B}\bar{x}) \\ \equiv_{desc} (A\bar{A}x\bar{B}, \bar{x}\bar{B}) \end{array} \right. \\
 \updownarrow \text{ech}^m & & \updownarrow \text{ech}^m \\
 \left\{ \begin{array}{l} \equiv_{pic} (xA\bar{A}, \bar{x}B\bar{B}) \\ \equiv_{pic} (x, A\bar{A}\bar{x}B\bar{B}) \\ \equiv_{pic} (xA, \bar{A}\bar{x}B\bar{B}) \\ \equiv_{desc} (Ax, \bar{A}\bar{x}B\bar{B}) \end{array} \right. & \xLeftrightarrow{\text{mir}^m} & \left\{ \begin{array}{l} \equiv_{pic} (B\bar{B}x, A\bar{A}\bar{x}) \\ \equiv_{pic} (B\bar{B}x\bar{A}\bar{A}, \bar{x}) \\ \equiv_{pic} (B\bar{B}x\bar{A}, \bar{A}\bar{x}) \\ \equiv_{mont} (B\bar{B}x\bar{A}, \bar{x}\bar{A}) \end{array} \right.
 \end{array}$$

## Théorème

**Transmission de propriétés**[?, LeBorgne04] :

- $\equiv_{mont, desc, pic}$  induise la même application
- $\text{mir}, \text{ech}$  conserve la bijectivité

## Étude empirique des équivalences et symétrie (2-périodique) :

Les données suivantes sont **stables à partir de**  $n = 5$  (testé pour  $n \leq 16$ ).

- **Au plus** 786 grammaires induisent une bijection
- Suspensions de 114 **bijection induites**
- Symétries : Soit  $G_0, G_1 \in \mathcal{GR}^2$ . On a  $\text{sym}_0((G_0, G_1)) = (\text{sym}(G_0), G_1)$ .

Nombre de sous règles bijectives	Nombre de grammaires bijectives	$\text{ech}_{01}^m$	$\text{ech}_0^m$	$\text{ech}_1^m$	$\text{mir}_{01}^m$	$\text{mir}_0^m$	$\text{mir}_1^m$
0	68	0	0	0	68	28	28
1	116	0	16	16	116	4	4
2	602	472	528	528	602	324	324
total	786	472	544	544	786	356	356

FIGURE – Données obtenues par simulation

- Pour  $\equiv$ , l'étude n'a pas été approfondie.

## Observations des symétries sur les grammaires à 2 règles

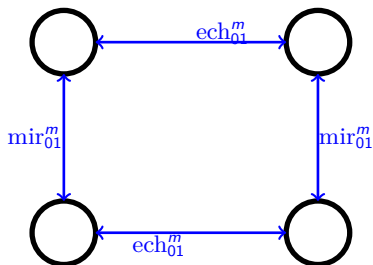


FIGURE – Représentation des relations entre  $2-\mathcal{GR}$

- Pour tout  $G' = (G, G)$  telle que  $G$  bijective  $\in \mathcal{GR}$ . La bijectivité de  $G'$  semble **être préservée** avec les symétries sauf  $\text{mir}_{0,1}$

## Observations des symétries sur les grammaires à 2 règles

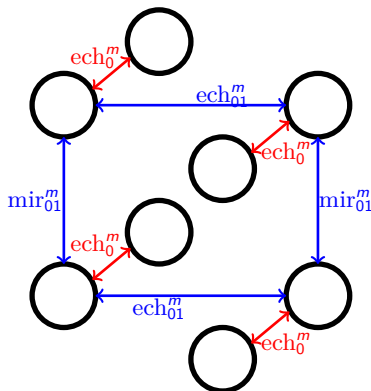


FIGURE – Représentation des relations entre  $2\text{-}\mathcal{GR}$

- Pour tout  $G' = (G, G)$  telle que  $G$  bijective  $\in \mathcal{GR}$ . La bijectivité de  $G'$  semble **être préservée** avec les symétries sauf  $\text{mir}_{0,1}$
- La relation importante :  $\forall s, \Phi_{\text{ech}_0^m(G_0, G_1)}(s) = \Phi_{G_0, G_1}(\text{ech}_0(s))$

## Observations des symétries sur les grammaires à 2 règles

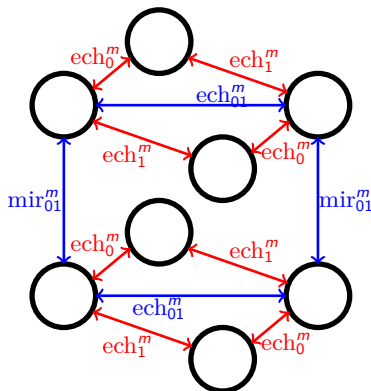


FIGURE – Représentation des relations entre  $2\text{-GR}$

- Pour tout  $G' = (G, G)$  telle que  $G$  bijective  $\in \mathcal{GR}$ . La bijectivité de  $G'$  semble **être préservée** avec les symétries sauf  $\text{mir}_{0,1}$
- La relation importante :  $\forall s, \Phi_{\text{ech}_0^m(G_0, G_1)}(s) = \Phi_{G_0, G_1}(\text{ech}_0(s))$



# Sommaire

- 1 Les nombres de Catalan
- 2 Le mode insertion et sa généralisation
- 3 Étude approfondie de  $\text{ech}_0$ 
  - Définitions
  - Bijektivité
  - Vision binaire

# La structure arborescente des $\mathcal{ADS}$

- Une relation qui motive la définition  $\text{ech}_0$  :

$$\forall s, \Phi_{\text{ech}_0^m(G_0, G_1)}(s) = \Phi_{G_0, G_1}(\text{ech}_0(s))$$

- Une représentation des  $\mathcal{ADS}$ .

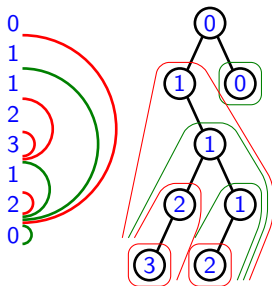


FIGURE – Arbre représentant l' $\mathcal{ADS}$  0, 1, 1, 2, 3, 1, 2, 0

## Une définition induite de $\text{ech}^m \text{ech}_0^m$ sur les $\mathcal{ADS}$

- $\text{ech}((k, t1, t2), j) := \begin{cases} k + j, \text{ech}(t2, j + 1), \text{ech}(t1, j - 1) & \text{si } k = \varepsilon \\ \varepsilon & \text{sinon} \end{cases}$
- $\text{ech}_i((k, t1, t2), j) := \begin{cases} k + j, \text{ech}_i(t2, j + 1), \text{ech}_i(t1, j - 1) & \text{si } k = \varepsilon \\ k + j, \text{ech}_i(t1, j), \text{ech}_i(t2, j) & \text{sinon si } k \equiv i[2] \\ \varepsilon & \text{sinon} \end{cases}$

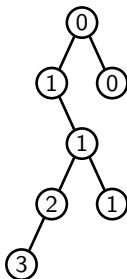


FIGURE – Effet de  $\text{ech}$  et  $\text{ech}_0$  sur l'arbre de 0, 1, 1, 2, 3, 1, 0

# Une définition induite de $\text{ech}^m \text{ech}_0^m$ sur les $\mathcal{ADS}$

- $\text{ech}((k, t1, t2), j) := \begin{cases} k + j, \text{ech}(t2, j + 1), \text{ech}(t1, j - 1) & \text{si } k = \varepsilon \\ \varepsilon & \text{sinon} \end{cases}$
- $\text{ech}_i((k, t1, t2), j) := \begin{cases} k + j, \text{ech}_i(t2, j + 1), \text{ech}_i(t1, j - 1) & \text{si } k = \varepsilon \\ k + j, \text{ech}_i(t1, j), \text{ech}_i(t2, j) & \text{sinon si } k \equiv i[2] \\ \varepsilon & \text{sinon} \end{cases}$

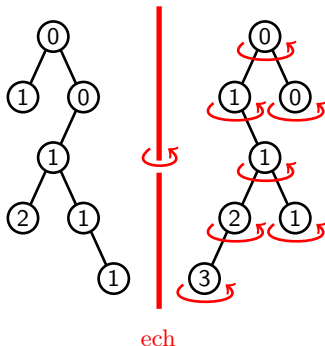


FIGURE – Effet de  $\text{ech}$  et  $\text{ech}_0$  sur l'arbre de 0, 1, 1, 2, 3, 1, 0

# Une définition induite de $\text{ech}^m$ $\text{ech}_0^m$ sur les $\mathcal{ADS}$

- $\text{ech}((k, t1, t2), j) := \begin{cases} k + j, \text{ech}(t2, j + 1), \text{ech}(t1, j - 1) & \text{si } k = \varepsilon \\ k + j, \text{ech}_i(t2, j + 1), \text{ech}_i(t1, j - 1) & \text{sinon} \end{cases}$
- $\text{ech}_i((k, t1, t2), j) := \begin{cases} k + j, \text{ech}_i(t2, j + 1), \text{ech}_i(t1, j - 1) & \text{si } k = \varepsilon \\ k + j, \text{ech}_i(t1, j), \text{ech}_i(t2, j) & \text{sinon si } k \equiv i[2] \\ k + j, \text{ech}_i(t1, j), \text{ech}_i(t2, j) & \text{sinon} \end{cases}$

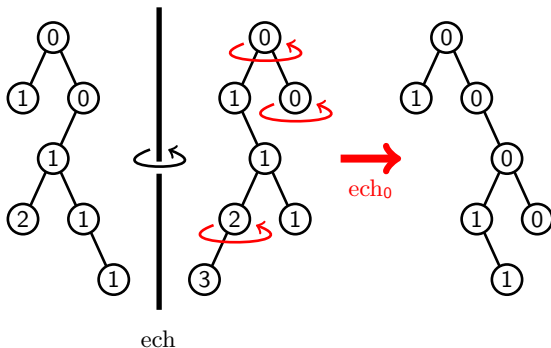


FIGURE – Effet de  $\text{ech}$  et  $\text{ech}_0$  sur l'arbre de 0, 1, 1, 2, 3, 1, 0

# Une définition induite de $\text{ech}^m \text{ech}_0^m$ sur les $\mathcal{ADS}$

- $\text{ech}((k, t1, t2), j) := \begin{cases} k + j, \text{ech}(t2, j + 1), \text{ech}(t1, j - 1) & \text{si } k = \varepsilon \\ k + j, \text{ech}_i(t2, j + 1), \text{ech}_i(t1, j - 1) & \text{sinon si } k \equiv i[2] \\ k + j, \text{ech}_i(t1, j), \text{ech}_i(t2, j) & \text{sinon} \end{cases}$
- $\text{ech}_i((k, t1, t2), j) := \begin{cases} k + j, \text{ech}_i(t2, j + 1), \text{ech}_i(t1, j - 1) & \text{si } k = \varepsilon \\ k + j, \text{ech}_i(t1, j), \text{ech}_i(t2, j) & \text{sinon} \end{cases}$

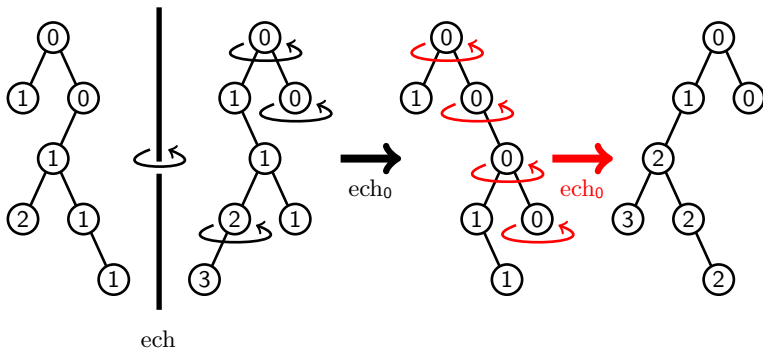


FIGURE – Effet de  $\text{ech}$  et  $\text{ech}_0$  sur l'arbre de 0, 1, 1, 2, 3, 1, 0

# Bijektivité de $\text{ech}_0$

On définit l'application réciproque  $\text{ech}_i^{-1}$  :

- $\text{ech}_i((k, t1, t2), j) := \begin{cases} \varepsilon & \text{si } k = \varepsilon \\ k + j, \text{ech}_i(t2, j + 1), \text{ech}_i(t1, j - 1) & \text{sinon si } k \equiv i[2] \\ k + j, \text{ech}_i(t1, j), \text{ech}_i(t2, j) & \text{sinon} \end{cases}$
- $\text{ech}_i^{-1}((k, t1, t2), j) := \begin{cases} \varepsilon & \text{si } k = \varepsilon \\ k + i, \text{ech}_i^{-1}(t2, i + 1), \text{ech}_i(t1, j - 1) & \text{sinon si } k + j \equiv i[2] \\ k + i, \text{ech}_i^{-1}(t1, i), \text{ech}_i(t2, j) & \text{sinon} \end{cases}$

Pour s'en convaincre :

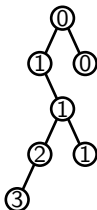


FIGURE – Illustration de  $\text{ech}_0^{-1}$

# Bijektivité de $\text{ech}_0$

On définit l'application réciproque  $\text{ech}_i^{-1}$  :

- $\text{ech}_i((k, t1, t2), j) := \begin{cases} \varepsilon & \text{si } k = \varepsilon \\ k + j, \text{ech}_i(t2, j + 1), \text{ech}_i(t1, j - 1) & \text{sinon si } k \equiv i[2] \\ k + j, \text{ech}_i(t1, j), \text{ech}_i(t2, j) & \text{sinon} \end{cases}$
- $\text{ech}_i^{-1}((k, t1, t2), j) := \begin{cases} \varepsilon & \text{si } k = \varepsilon \\ k + i, \text{ech}_i^{-1}(t2, i + 1), \text{ech}_i(t1, j - 1) & \text{sinon si } k + j \equiv i[2] \\ k + i, \text{ech}_i^{-1}(t1, i), \text{ech}_i(t2, j) & \text{sinon} \end{cases}$

Pour s'en convaincre :

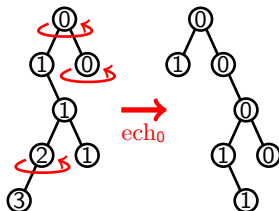


FIGURE – Illustration de  $\text{ech}_0^{-1}$



# Bijektivité de $\text{ech}_0$

On définit l'application réciproque  $\text{ech}_i^{-1}$  :

- $\text{ech}_i((k, t1, t2), j) := \begin{cases} \varepsilon & \text{si } k = \varepsilon \\ k + j, \text{ech}_i(t2, j + 1), \text{ech}_i(t1, j - 1) & \text{sinon si } k \equiv i[2] \\ k + j, \text{ech}_i(t1, j), \text{ech}_i(t2, j) & \text{sinon} \end{cases}$
- $\text{ech}_i^{-1}((k, t1, t2), j) := \begin{cases} \varepsilon & \text{si } k = \varepsilon \\ k + i, \text{ech}_i^{-1}(t2, i + 1), \text{ech}_i(t1, j - 1) & \text{sinon si } k + j \equiv i[2] \\ k + i, \text{ech}_i^{-1}(t1, i), \text{ech}_i(t2, j) & \text{sinon} \end{cases}$

Pour s'en convaincre :

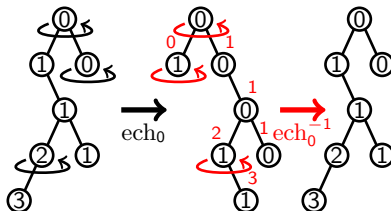


FIGURE – Illustration de  $\text{ech}_0^{-1}$

## Où en est-on ?

- On a **démontré** toutes les flèches du schéma ci-dessous.
- Cependant on n'a **pas de nouvelle involution** pour  $\text{ech}_0$ .
- On se restreint **aux branches**.

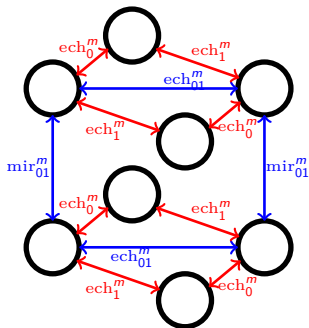


FIGURE – Représentation des relations entre  $2\text{-GR}$

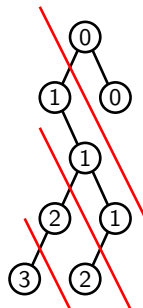


FIGURE – Illustration des couches de la structure arborescente des  $\mathcal{ADS}$

# Trace des itérés de $\text{ech}_0$ sur $11\dots 11$

## Lemme

**Trace :** La trace de  $\text{ech}_0$  sur  $11\dots 11$  génère le **triangle de Sierpinski**

$$\forall n \in \mathbb{N}^*; \forall k \in \mathbb{N}, \text{ech}_0^k(\underbrace{11\dots 11}_n)[n-1] \equiv \binom{k+n}{n} \pmod{2}$$

1	1	1	1	1	1	1
1						
1						
1						
1						
1						
1						

	1	1	1	1	1	1

FIGURE – Trace des appels successifs de  $\text{ech}_0$

# Trace des itérés de $\text{ech}_0$ sur $11\dots 11$

## Lemme

**Trace :** La trace de  $\text{ech}_0$  sur  $11\dots 11$  génère le **triangle de Sierpinski**

$$\forall n \in \mathbb{N}^*; \forall k \in \mathbb{N}, \text{ech}_0^k(\underbrace{11\dots 11}_n)[n-1] \equiv \binom{k+n}{n} \pmod{2}$$

1	1	1	1	1	1	1
1	2	3	4	5	6	7
1						
1						
1						
1						
1						

	1	1	1	1	1	1
	0	1	0	1	0	1

FIGURE – Trace des appels successifs de  $\text{ech}_0$

# Trace des itérés de $\text{ech}_0$ sur $11\dots 11$

## Lemme

**Trace :** La trace de  $\text{ech}_0$  sur  $11\dots 11$  génère le **triangle de Sierpinski**

$$\forall n \in \mathbb{N}^*; \forall k \in \mathbb{N}, \text{ech}_0^k(\underbrace{11\dots 11}_n)[n-1] \equiv \binom{k+n}{n} \pmod{2}$$

1	1	1	1	1	1	1
1	2	3	4	5	6	7
1	3	6	10	15	21	28
1						
1						
1						
1						

	1	1	1	1	1	1
	0	1	0	1	0	1
	1	0	0	1	1	0

$\text{ech}_0$   
 $\text{ech}_0$

FIGURE – Trace des appels successifs de  $\text{ech}_0$

# Trace des itérés de $\text{ech}_0$ sur $11\dots 11$

## Lemme

**Trace :** La trace de  $\text{ech}_0$  sur  $11\dots 11$  génère le **triangle de Sierpinski**

$$\forall n \in \mathbb{N}^*; \forall k \in \mathbb{N}, \text{ech}_0^k(\underbrace{11\dots 11}_n)[n-1] \equiv \binom{k+n}{n} \pmod{2}$$

1	1	1	1	1	1	1
1	2	3	4	5	6	7
1	3	6	10	15	21	28
1	4	10	20	35	56	84
1	5	15	35	70	126	210
1	6	21	56	126	252	462
1	7	28	84	210	462	924

	1	1	1	1	1	1
	0	1	0	1	0	1
	1	0	0	1	1	0
	0	0	0	1	0	0
	1	1	1	0	0	0
	0	1	0	0	0	0
	1	0	0	0	0	0

FIGURE – Trace des appels successifs de  $\text{ech}_0$

# Trace des itérés de $\text{ech}_0$ sur $11\dots 11$

## Lemme

**Trace :** La trace de  $\text{ech}_0$  sur  $11\dots 11$  génère le **triangle de Sierpinski**

$$\forall n \in \mathbb{N}^*; \forall k \in \mathbb{N}, \text{ech}_0^k(\underbrace{11\dots 11}_n)[n-1] \equiv \binom{k+n}{n} \pmod{2}$$

1	1	1	1	1	1	1
1	2	3	4	5	6	7
1	3	6	10	15	21	28
1	4	10	20	35	56	84
1	5	15	35	70	126	210
1	6	21	56	126	252	462
1	7	28	84	210	462	924

	1	1	1	1	1	1	
	0	1	0	1	0	1	$\text{ech}_0$
	1	0	0	1	1	0	$\text{ech}_0$
	0	0	0	1	0	0	$\text{ech}_0$
	1	1	1	0	0	0	$\text{ech}_0$
	0	1	0	0	0	0	$\text{ech}_0$
	1	0	0	0	0	0	$\text{ech}_0$

FIGURE – Trace des appels successifs de  $\text{ech}_0$

# Trace des itérés de $\text{ech}_0$ sur $11\dots 11$

## Lemme

**Trace :** La trace de  $\text{ech}_0$  sur  $11\dots 11$  génère le **triangle de Sierpinski**

$$\forall n \in \mathbb{N}^*; \forall k \in \mathbb{N}, \text{ech}_0^k(\underbrace{11\dots 11}_n)[n-1] \equiv \binom{k+n}{n} \pmod{2}$$

1	1	1	1	1	1	1
1	2	3	4	5	6	7
1	3	6	10	15	21	28
1	4	10	20	35	56	84
1	5	15	35	70	126	210
1	6	21	56	126	252	462
1	7	28	84	210	462	924

	1	1	1	1	1	1	
	0	1	0	1	0	1	$\text{ech}_0$
	1	0	0	1	1	0	$\text{ech}_0$
	0	0	0	1	0	0	$\text{ech}_0$
	1	1	1	0	0	0	$\text{ech}_0$
	0	1	0	0	0	0	$\text{ech}_0$
	1	0	0	0	0	0	$\text{ech}_0$

FIGURE – Trace des appels successifs de  $\text{ech}_0$



# Trace des itérés de $\text{ech}_0$ sur $11\dots 11$

## Lemme

**Trace :** La trace de  $\text{ech}_0$  sur  $11\dots 11$  génère le **triangle de Sierpinski**

$$\forall n \in \mathbb{N}^*; \forall k \in \mathbb{N}, \text{ech}_0^k(\underbrace{11\dots 11}_n)[n-1] \equiv \binom{k+n}{n} \pmod{2}$$

1	1	1	1	1	1	1
1	2	3	4	5	6	7
1	3	6	10	15	21	28
1	4	10	20	35	56	84
1	5	15	35	70	126	210
1	6	21	56	126	252	462
1	7	28	84	210	462	924

	1	1	1	1	1	1
	0	1	0	1	0	1
	1	0	0	1	1	0
	0	0	0	1	0	0
	1	1	1	0	0	0
	0	1	0	0	0	0
	1	0	0	0	0	0

$\curvearrowright \text{ech}_0$   
 $\curvearrowright \text{ech}_0$   
 $\curvearrowright \text{ech}_0$   
 $\curvearrowright \text{ech}_0$   
 $\curvearrowright \text{ech}_0$   
 $\curvearrowright \text{ech}_0$

FIGURE – Trace des appels successifs de  $\text{ech}_0$

# Trace des itérés de $\text{ech}_0$ sur $11\dots 11$

## Lemme

**Trace :** La trace de  $\text{ech}_0$  sur  $11\dots 11$  génère le **triangle de Sierpinski**

$$\forall n \in \mathbb{N}^*; \forall k \in \mathbb{N}, \text{ech}_0^k(\underbrace{11\dots 11}_n)[n-1] \equiv \binom{k+n}{n} \pmod{2}$$

1	1	1	1	1	1	1
1	2	3	4	5	6	7
1	3	6	10	15	21	28
1	4	10	20	35	56	84
1	5	15	35	70	126	210
1	6	21	56	126	252	462
1	7	28	84	210	462	924

	1	1	1	1	1	1	
	0	1	0	1	0	1	$\text{ech}_0$
	1	0	0	1	1	0	$\text{ech}_0$
	0	0	0	1	0	0	$\text{ech}_0$
	1	1	1	0	0	0	$\text{ech}_0$
	0	1	0	0	0	0	$\text{ech}_0$
	1	0	0	0	0	0	$\text{ech}_0$

FIGURE – Trace des appels successifs de  $\text{ech}_0$

# Trace des itérés de $\text{ech}_0$ sur $11\dots 11$

## Lemme

**Trace :** La trace de  $\text{ech}_0$  sur  $11\dots 11$  génère le **triangle de Sierpinski**

$$\forall n \in \mathbb{N}^*; \forall k \in \mathbb{N}, \text{ech}_0^k(\underbrace{11\dots 11}_n)[n-1] \equiv \binom{k+n}{n} \pmod{2}$$

1	1	1	1	1	1	1
1	2	3	4	5	6	7
1	3	6	10	15	21	28
1	4	10	20	35	56	84
1	5	15	35	70	126	210
1	6	21	56	126	252	462
1	7	28	<del>84</del>	210	462	924

	1	1	1	1	1	1	
	0	1	0	1	0	1	$\text{ech}_0$
	1	0	0	1	1	0	$\text{ech}_0$
	0	0	0	1	0	0	$\text{ech}_0$
	1	1	1	0	0	0	$\text{ech}_0$
	0	1	0	0	0	0	$\text{ech}_0$
	1	0	0	0	0	0	$\text{ech}_0$

FIGURE – Trace des appels successifs de  $\text{ech}_0$

# Trace des itérés de $\text{ech}_0$ sur 11...11

## Lemme

**Trace :** La trace de  $\text{ech}_0$  sur 11...11 génère le **triangle de Sierpinski**

$$\forall n \in \mathbb{N}^*; \forall k \in \mathbb{N}, \text{ech}_0^k(\underbrace{11\dots 11}_n)[n-1] \equiv \binom{k+n}{n} \pmod{2}$$

1	1	1	1	1	1	1
1	2	3	4	5	6	7
1	3	6	10	15	21	28
1	4	10	20	35	56	84
1	5	15	35	70	126	210
1	6	21	56	126	252	462
1	7	<del>28</del>	<del>84</del>	210	462	924

	1	1	1	1	1	1	
	0	1	0	1	0	1	$\text{ech}_0$
	1	0	0	1	1	0	$\text{ech}_0$
	0	0	0	1	0	0	$\text{ech}_0$
	1	1	1	0	0	0	$\text{ech}_0$
	0	1	0	0	0	0	$\text{ech}_0$
	1	0	0	0	0	0	$\text{ech}_0$

FIGURE – Trace des appels successifs de  $\text{ech}_0$

# Trace des itérés de $\text{ech}_0$ sur $11\dots 11$

## Lemme

**Trace :** La trace de  $\text{ech}_0$  sur  $11\dots 11$  génère le **triangle de Sierpinski**

$$\forall n \in \mathbb{N}^*; \forall k \in \mathbb{N}, \text{ech}_0^k(\underbrace{11\dots 11}_n)[n-1] \equiv \binom{k+n}{n} \pmod{2}$$

1	1	1	1	1	1	1
1	2	3	4	5	6	7
1	3	6	10	15	21	28
1	4	10	20	35	56	84
1	5	15	35	70	126	210
1	6	21	56	126	252	462
×	×	×	×	210	462	924

	1	1	1	1	1	1
	0	1	0	1	0	1
	1	0	0	1	1	0
	0	0	0	1	0	0
	1	1	1	0	0	0
	0	1	0	0	0	0
	1	0	0	0	0	0

$\curvearrowright \text{ech}_0$   
 $\curvearrowright \text{ech}_0$   
 $\curvearrowright \text{ech}_0$   
 $\curvearrowright \text{ech}_0$   
 $\curvearrowright \text{ech}_0$   
 $\curvearrowright \text{ech}_0$

FIGURE – Trace des appels successifs de  $\text{ech}_0$

# Trace des itérés de $\text{ech}_0$ sur $11\dots 11$

## Lemme

**Trace :** La trace de  $\text{ech}_0$  sur  $11\dots 11$  génère le **triangle de Sierpinski**

$$\forall n \in \mathbb{N}^*; \forall k \in \mathbb{N}, \text{ech}_0^k(\underbrace{11\dots 11}_n)[n-1] \equiv \binom{k+n}{n} \pmod{2}$$

1	1	1	1	1	1	1
1	2	3	4	5	6	7
1	3	6	10	15	21	28
1	4	10	20	35	56	84
1	5	15	35	70	126	210
1	6	21	56	126	252	462
×	×	×	×	210	462	924

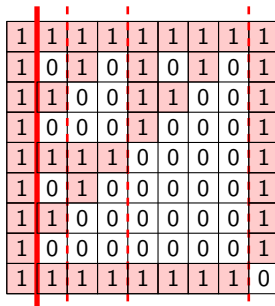
1	1	1	1	1	1	1	$\text{ech}_0$ $\text{ech}_0$ $\text{ech}_0$ $\text{ech}_0$ $\text{ech}_0$ $\text{ech}_0$
1	0	1	0	1	0	1	
1	1	0	0	1	1	0	
1	0	0	0	1	0	0	
1	1	1	1	0	0	0	
1	0	1	0	0	0	0	
1	1	0	0	0	0	0	

FIGURE – Trace des appels successifs de  $\text{ech}_0$

## Ordre de de la branche 11...11

### Théorème

**Ordre** :  $\forall n \in \mathbb{N}^*; \forall k \in \mathbb{N}, \text{ordre}(\text{ech}_0, \underbrace{11\dots 11}_n) = 2^{\lfloor \log_2 n \rfloor + 1}$



1	1	1	1	1	1	1	1	1	1
1	0	1	0	1	0	1	0	1	1
1	1	0	0	1	1	0	0	0	1
1	0	0	0	1	0	0	0	0	1
1	1	1	1	0	0	0	0	0	1
1	0	1	0	0	0	0	0	0	1
1	1	0	0	0	0	0	0	0	1
1	0	0	0	0	0	0	0	0	1
1	1	1	1	1	1	1	1	1	0

FIGURE – Trace des puissances successives de  $\text{ech}_0$  sur l'entrée 11...11

# L'ordre et conjecture de définitions

## Théorème

**Ordre** :  $\forall n \in \mathbb{N}^*; \forall k \in \mathbb{N}, \text{ordre}(\text{ech}_0, \{0, 1\}^n) = 2^{\lfloor \log_2 n \rfloor + 1}$

- **Hauteur** : La hauteur d'un arbre est le nombre d'arêtes de sa plus longue branche
- **Définition** :  $\text{ech}_0^u(s) := \underbrace{\text{ech}_0 \circ \dots \circ \text{ech}_0}_{2^{\lfloor \log_2(\text{hauteur}(s)) \rfloor}}(s)$

## Conjecture

**Expression  $\text{ech}_0^u$  sur les branches** : Après simulation on trouve le pattern suivant :

$$\text{ech}_0^u(s) = \sum_{k \in \llbracket 0, n \rrbracket} s_k 2^k := s + (-1)^{s_{n - \lfloor \log_2 n \rfloor}} + \sum_{k \in \llbracket 0, \lfloor \log_2 n \rfloor \rrbracket} s_{\lfloor \log_2 n \rfloor + k} (-1)^{s_k} 2^k$$

$$\text{ech}_0^u(101101) = \begin{array}{c} 10|1101 \\ 110 \end{array} = 10|1011$$



# Une nouvelle involution

## Théorème

### ***Involutivité :***

- $\text{ech}_0^u$  est ***involutive***
- Sur un arbre elle n'effectue que ***des flips***
- D'où une involution de  $\mathcal{ADS}$  de taille  $n$  dans les  $\mathcal{ADS}$  de taille  $n$
- On va pouvoir faire des statistiques et comparer au q,t-Catalan

# Un nouveau formalisme

Le fait de travailler sur les branches ouvre un **nouveau formalisme** :

- Caractériser les bijections
- Caractériser les involutions
- Les énumérer ?
- Une étude systématique à la **recherche de l'involution des  $q,t$ -Catalan**.



J. Haglund.

Conjectured statistics for the  $q,t$ -catalan numbers.

*Advances in Mathematics*, 175 :319–334, 10 2000.



Yvan Le Borgne.

*Variations combinatoires sur des classes d'objets comptées par la suite de Catalan.*

PhD thesis, Bordeaux 1, 2004.



Richard P Stanley.

*Catalan numbers.*

Cambridge University Press, 2015.